

# Eksamen i TTK4105 Reguleringssteknikk

Løsningsforslag

lørdag 10. juni 2017

## Oppgave 1

a)

Det er to integratorer, og en 1. ordens blokk som inneholder en integrator. Det gir orden  $n = 3$ .

b)

Nedre del av modellen er bare påvirket av øvre del, men virker ikke tilbake på øvre del.  $D(t)$  er altså ikke påvirket av nedre del.

c)

Finn først  $h_0$ :

$$h_0(s) = \frac{1}{1 + T_B s} \rho \frac{1}{s + d} (i + d) = \frac{\rho(i + d)}{(1 + T_B s)(s + d)} \quad (1.1)$$

og deretter (minustegnet i nevneren kommer av positiv tilbakekobling av  $y$ ):

$$\begin{aligned} \frac{y}{r}(s) &= \frac{h_0(s)}{1 - h_0(s)} = \frac{t_0(s)}{n_0(s) - t_0(s)} = \frac{\rho(i + d)}{(1 + T_B s)(s + d) - \rho(i + d)} \\ &= \frac{\rho(i/d + 1)}{(T_B/d)s^2 + (T_B + 1/d)s + 1 - \rho(1 + i/d)} \end{aligned} \quad (1.2)$$

d)

Formel (V.18) i formelsamlinga sier at for et 2.ordens polynom er alle røttene i vhp. hvis alle koeffisientene har samme fortegn. Koeffisienten  $1 - \rho(1 + i/d)$  er den eneste som ikke alltid er positiv. Løses ulikheten  $1 - \rho(1 + i/d) < 0$  for  $\rho$  får man (1.2) i oppgavesettet.

e)

For å få negativ tilbakekobling må vi putte inn et negativt fortegn i forovergreina, noe vi gjorde allerede i deloppgave c). Nyquist forutsetter negativ enhetstilbakekobling, det oppnår vi på denne måten.

$h_0$  er åpent stabilt,  $N_p = 0$ . Da skal vi ikke ha omslutting av  $-1$  for stabilitet. Det har vi her, og det lukkede systemet er ustabilt.

For  $s = j\omega$  med  $\omega = 0$  skjærer grafen x-aksen i  $-1.1$ .  $h_0|_{s=j0} = \rho(i + d)/d = -1.1$ . For å komme på stabilitetsgrensa kan vi minke  $\rho$  til  $\bar{\rho} = \rho/1.1$ . Setter dette inn i formelen fra deloppgave d) for å sjekke:

$$\bar{\rho} = \frac{0.5}{1.1} = \frac{0.05}{0.05 + 0.06} = \frac{d}{i + d} \quad (1.3)$$

De er like, og dermed stemmer det grafiske og algebraiske kriteriet overens.

**f)**

Med  $T_B = 0$  får vi

$$\dot{D} = \rho(i + d)D - dD = (\rho(i + d) - d)D \quad (1.4)$$

Setter vi så  $\lambda = \rho(i + d) - d$  har vi  $\dot{D} = \lambda D$  med  $D(0) = D_0$  som gir løsningen  $D(t) = D_0 e^{\lambda t}$  fra linje 3, kolonne 2, side 4 i formelsamlinga.

**g)**

Når  $T_B = 0$  vil de to pilene fra øvre del kansellere hverandre, da  $F_B = y$ . Da har vi  $\dot{M} = Y_i - Y_i = 0$ , og  $M(t) = M_0$ , altså konstant.

**h)**

$$x = \frac{D(t)}{M(t)^{\frac{1}{T_R}}} = \frac{D_0 T_R}{M_0} e^{\lambda t}, \quad \lambda = \rho(i + d) - d \quad (1.5)$$

## Oppgave 2

**a)**

$$K_r = \frac{\dot{\psi}[\text{rad/s}]}{V[\text{m/s}]u[\text{rad}]} \Rightarrow K_r[1/\text{m}] \quad (2.1)$$

**b)**

Fra oppgaveteksten har vi  $\dot{x}_2 = K_r V u$ , og linearisering av (2.1) gir  $\dot{x}_1 = V x_2$ . Det gir matrisene

$$\mathbf{A} = \begin{bmatrix} 0 & V \\ 0 & 0 \end{bmatrix}, \quad \mathbf{b} = \begin{bmatrix} 0 \\ K_r V \end{bmatrix} \quad (2.2)$$

**c)**

$$\Phi(t) = \mathbf{I} + \mathbf{A}t = \begin{bmatrix} 1 & Vt \\ 0 & 1 \end{bmatrix} \quad (2.3)$$

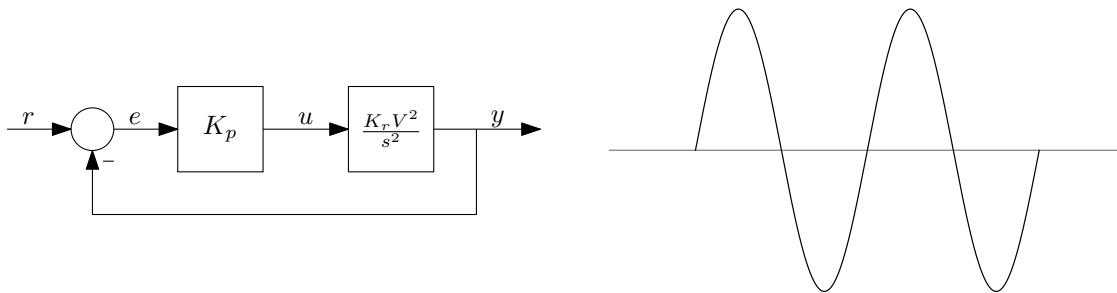
Fordi  $\mathbf{A}^i = \mathbf{0}$  for  $i > 1$ .

**d)**

Velger vi  $y = x_1$  som utgang blir målevektoren  $\mathbf{c} = [1 \quad 0]^T$ . Da får vi

$$h_u(s) = \frac{y}{u}(s) = \mathbf{c}^T (s\mathbf{I} - \mathbf{A})^{-1} \mathbf{b} = [1 \quad 0] \begin{bmatrix} s & -V \\ 0 & s \end{bmatrix} \begin{bmatrix} 0 \\ K_r V \end{bmatrix} = \frac{K_r V^2}{s^2} \quad (2.4)$$

e)



Blokkdiagram og respons med proporsjonalkontroller er vist over. Følgeforholdet  $M(s)$  er gitt av

$$M(s) = \frac{\frac{K_p K_r V^2}{s^2}}{1 + \frac{K_p K_r V^2}{s^2}} = \frac{K}{s^2 + K}, \quad K = K_p K_r V^2 \quad (2.5)$$

som vi kjenner igjen som laplacetransformasjon av en sinussvingning  $\sqrt{K} \sin(\sqrt{K}t)$ .

f)

Vi velger en begrenset PD-regulator på formen

$$h_r(s) = K_p \frac{1 + T_d s}{1 + \alpha T_d s} \quad (2.6)$$

som flytter polene i det lukkede systemet fra imaginæraksen og inn i vhp, og gir et asymptotisk stabilt system.

g)

Med regulatoren fra forrige deloppgave får vi

$$h_0(s) = K_p \frac{1 + T_d s}{1 + \alpha T_d s} \frac{K_r V^2}{s^2} = K \frac{1 + T_d s}{s^2(1 + \alpha T_d s)}, \quad K = K_p K_r V^2 \quad (2.7)$$

som gir avviksforholdet

$$N(s) = \frac{1}{1 + h_0(s)} = \frac{n_0}{n_0 + t_0} = \frac{s^2(1 + \alpha T_d s)}{s^2(1 + \alpha T_d s) + K(1 + T_d s)} \quad (2.8)$$

og sluttverditeoremet gir til slutt

$$\lim_{t \rightarrow \infty} e(t) = \lim_{s \rightarrow 0} s N(s) r(s) = \lim_{s \rightarrow 0} \frac{s^3(1 + \alpha T_d s)}{s^2(1 + \alpha T_d s) + K(1 + T_d s)} \frac{1}{s^2} = 0 \quad (2.9)$$

## Oppgave 3

Fasen til  $h_0$  forverres med  $\omega_c T/2$  ved kryssfrekvensen. Med 3 grader fasemargin får man

$$\omega_c \frac{T}{2} = 3 \frac{\pi}{180} \quad \Rightarrow \quad T = \frac{\pi}{30\omega_c} \quad (3.1)$$

## Oppgave 4

a)

For å fjerne stasjonært avvik når  $v = \text{konstant} \neq 0$ .

b)

Bruker (V.20), og velger  $T_L = \tau$ :

$$K_p = \frac{T}{2K\tau} = \frac{1}{20} \quad (4.1)$$

$$T_i = \min(T, 8\tau) = 5 \quad (4.2)$$

c)

Da flyttes tidsforsinkelsen utafor den lukkede sløyfen. Dette tillater mye større  $K_p$ /mindre  $T_i$ , som gir raskere regulering.

d)

Bruker (V.27):

$$h_{r,os} = \frac{K_p \frac{1+T_i s}{T_i s}}{\frac{1}{1+Ts}(1-e^{-\tau s})} = K_p \frac{(1+T_i s)(1+Ts)}{T_i s(1-e^{-\tau s})} \quad (4.3)$$

e)

Ingenting. Valg av foroverkobling har ingen innflytelse på egenskapene i tilbakekoblinga.

f)

$$h_{fi} \left( \frac{1}{1+Ts} \right) + 1 = 0 \quad \Rightarrow \quad h_{fi} = -(1+Ts) \quad (4.4)$$

Denne er ikke proper (Kap. 4.4.2 og eks. 6.2), og dermed ikke realiserbar. Velger derfor

$$h_f(s) = -\frac{1+Ts}{1+\alpha Ts}, \quad 0 < \alpha \ll 1 \quad (4.5)$$

For en konstant forstyrrelse får vi

$$h_f(s) \frac{1}{1+Ts} + 1 \Big|_{s=0} = -1 \cdot \frac{1}{1+T \cdot 0} + 1 = 0 \quad (4.6)$$

g)

Foroverkoblinga blir viktigere. Den virker før  $\tau$ , mens tilbakekoblinga kan først virke etter  $\tau$ .

## Oppgave 5

a)

Venstre asymptote synker med 40dB/dekade, og fassen er  $-180^\circ$ . Dermed har vi  $h_0 \approx \frac{K}{s^2}$ . Denne krysser 0dB-linja i  $\omega_{c,as} = 0.1$ . Dette gir forsterkning

$$\frac{K}{\omega_{c,as}^2} = 1 \quad \Rightarrow \quad K = \omega_{c,as}^2 = 0.01 \quad (5.1)$$

Videre leser vi av følgende endringer i asymptotisk forsterkning og fase:

$\omega$	$ h_0 $	$\angle h_0$	$T = 1/\omega$	Type ledd
0.02	knekk opp	$+90^\circ$	50	teller $1 + T_1s$
0.2	knekk ned	$-90^\circ$	5	nevner $1 + T_2s$
0.5	knekk ned	$-90^\circ$	2	nevner $1 + T_3s$
2	knekk opp	$-90^\circ$	0.5	teller $1 - T_4s$
som til sammen gir				

$$h_0(s) = 0.01 \frac{(1 + 50s)(1 - 0.5s)}{s^2(1 + 5s)(1 + 2s)} \quad (5.2)$$

b)

I bodediagrammet ser vi at  $\omega_c \approx \omega_{180}$ , vi er på stabilitetsgrensa  $\Rightarrow K$  må reduseres. Et godt valg er å redusere så mye at vi får maks fasemargin, som her er omtrent  $45^\circ$ . Dette oppnår vi med ny  $\omega_c \approx 0.05$ , og det får vi ved å flytte 0-dB linja 20dB oppover, dvs.  $K$  bør reduseres med 20dB.